

2C133A, 2C139A, 2C147A, 2C156A, 2C168A, KC133A, KC139A, KC147A, KC156A, KC168A

Стабилитроны кремниевые, сплавные, малой мощности. Предназначены для стабилизации номинального напряжения 3,3...6,8 В в диапазоне токов стабилизации 3...81 мА.

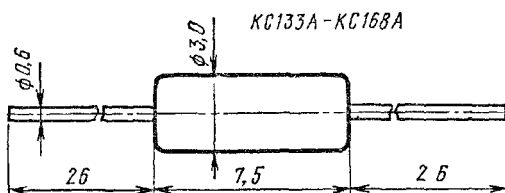
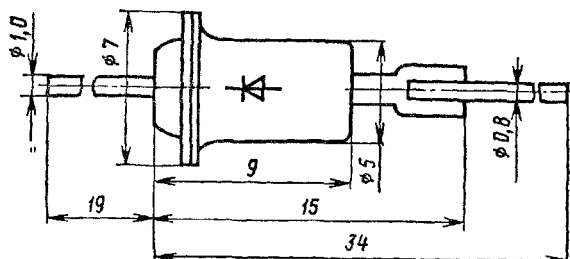
2C133A, 2C139A, 2C147A, 2C156A, 2C168A выпускаются в металлокерамическом корпусе с гибкими выводами. Тип прибора приводится на корпусе; корпус в рабочем режиме служит положительным электродом (анодом).

Масса стабилитронов не более 1 г.

KC133A, KC139A, KC147A, KC156A, KC168A выпускаются в стеклянном корпусе с гибкими выводами. Для обозначения типа и полярности стабилитрона используется условная маркировка — голубая кольцевая полоса со стороны катодного вывода и разноцветные кольцевые полосы по сторонам анодного вывода, KC133A — белая, KC139A — зеленая, KC147A — серая, KC156A — оранжевая, KC168A — красная. В режиме стабилизации напряжения полярность включения стабилитрона обратная.

Масса стабилитронов не более 0,3 г.

2C133A-2C168A, KC133A-KC168A



Электрические параметры

Напряжение стабилизации при $I_{st}=10$ мА:

при $T=+25^{\circ}\text{C}$:

2C133A, KC133A	2,97...3,3...3,63 В
2C139A, KC139A	3,51...3,9...4,29 В
2C147A, KC147A	4,23...4,7...5,17 В

Продолжение

2C156A, KC156A	5,04...5,6...6,16 В
2C168A, KC168A	6,12...6,8...7,48 В
при $T = -60^{\circ}\text{C}$:	
2C133A, KC133A	3...4,1 В
2C139A, KC139A	3,5...4,8 В
2C147A, KC147A	4...5,6 В
2C156A, KC156A	4,7...6,6 В
2C168A, KC168A	5,6...8 В
при $T = +125^{\circ}\text{C}$:	
2C133A, KC133A	2,6...3,7 В
2C139A, KC139A	3,1...4,3 В
2C147A, KC147A	3,7...5,5 В
2C156A, KC156A	4,7...6,6 В
2C168A, KC168A	5,6...8 В
Температурный коэффициент напряжения стабилизации в диапазоне температур $-60\ldots+125^{\circ}\text{C}$:	
2C133A, KC133A	$-0,11\%/\text{ }^{\circ}\text{C}\ldots 0$
2C139A, KC139A	$-0,10\%/\text{ }^{\circ}\text{C}\ldots 0$
2C147A, KC147A	$-0,09\ldots 0,01\%/\text{ }^{\circ}\text{C}$
2C156A, KC156A	$\pm 0,05\%/\text{ }^{\circ}\text{C}$
2C168A, KC168A	$\pm 0,06\%/\text{ }^{\circ}\text{C}$
Временная нестабильность напряжения стабилизации 2C133A, 2C139A, 2C147A, 2C156A, 2C168A	
Время выхода на режим 2C133A, 2C139A, 2C147A, 2C156A, 2C168A:	
при измерении U_{ct}	5* с
при измерении U_{ct} точно	10* мин
Постоянное прямое напряжение при $I_{ap} = 50\text{ mA}$, не более	1 В
Постоянный обратный ток при $U_{obp} = 0,7U_{ct}$ для 2C133A, 2C139A, 2C147A, 2C156A, не более	1* мА
Дифференциальное сопротивление, не более:	
при $I_{ct} = 10\text{ mA}$ и $T = +25^{\circ}\text{C}$:	
2C133A, KC133A	65 Ом
2C139A, KC139A	60 Ом
2C147A, KC147A	56 Ом
2C156A, KC156A	46 Ом
2C168A, KC168A	28 Ом
при $I_{ct} = 10\text{ mA}$, $T = -60$ и $+125^{\circ}\text{C}$:	
2C133A, 2C139A, KC133A, KC139A . . .	85 Ом
2C147A, KC147A	80 Ом
2C156A, KC156A	60 Ом
2C168A	39 Ом
KC168A	36 Ом
при $I_{ct} = 3\text{ mA}$:	
2C133A, 2C139A, KC133A, KC139A . . .	180 Ом
2C147A, 2C156A, KC147A, KC156A . . .	160 Ом
2C168A, KC168A	120 Ом

Предельные эксплуатационные данные

Минимальный ток стабилизации 3 мА

Максимальный ток стабилизации¹:при $T \leq +50^{\circ}\text{C}$:

2C133A, KC133A	81 мА
2C139A, KC139A	70 мА
2C147A, KC147A	58 мА
2C156A, KC156A	55 мА
2C168A, KC168A	45 мА

при $T = +125^{\circ}\text{C}$:

2C133A, KC133A	27 мА
2C139A, KC139A	23 мА
2C147A, KC147A	19 мА
2C156A, KC156A	18 мА
2C168A, KC168A	15 мА

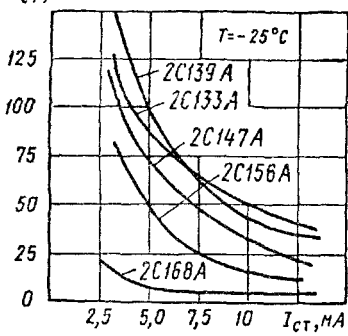
Рассеиваемая мощность¹:при $T \leq +50^{\circ}\text{C}$: 300 мВтпри $T = +125^{\circ}\text{C}$: 100 мВтТемпература окружающей среды : $-60\dots+125^{\circ}\text{C}$

¹ В интервале температур окружающей среды $+50\dots+125^{\circ}\text{C}$ допустимые значения максимального тока стабилизации и рассеиваемой мощности снижаются линейно.

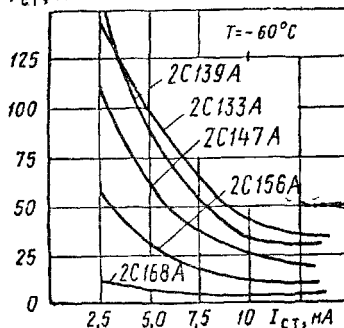
Пайка выводов допускается не ближе 5 мм от корпуса, изгиб выводов — не ближе 2 мм (3 мм для KC133A—KC168A) с радиусом закругления не менее 1,5 мм. Температура корпуса при пайке не должна превышать $+125^{\circ}\text{C}$.

Растягивающая сила не должна превышать 19,6 Н для вывода диаметром 1 мм и 9,8 Н для вывода диаметром 0,6 мм.

Допускается последовательное или параллельное соединение любого числа стабилитронов.

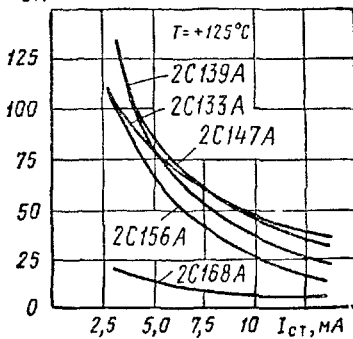
 r_{ct}, Ω 

Зависимости дифференциального сопротивления от тока

 r_{ct}, Ω 

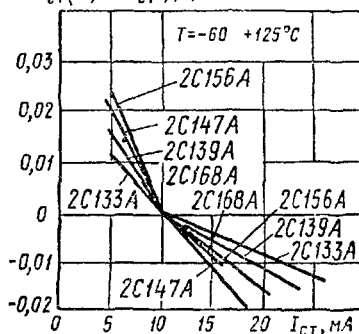
Зависимости дифференциального сопротивления от тока

$r_{ct}, \Omega/1$



Зависимости дифференциального сопротивления от тока

$\alpha U_{ct}(10)-\alpha U_{ct}, \%/{ }^{\circ}C$



Зависимости температурного коэффициента напряжения стабилизации от тока